

С.В. Бин, Н.В. Борисова, Э.П. Суровой, И.В. Титов

ГОУ ВПО «Кемеровский государственный университет»

E-mail: epsur@kemsu.ru

*В диапазоне внешних напряжений  $\pm 10$  В независимо от толщины пленок  $WO_3$  (20...100 нм), времени выдержки образцов в атмосферных условиях (2...180 ч), материала подложки (фторопласт 4, стекло ГОСТ 9284 – 59) на кинетических кривых тока релаксации систем  $Cu - WO_3 - Cu$  проявляются три участка: резкое возрастание тока (начальный максимум), участок уменьшения тока и стационарный участок, а также отсутствует запасание энергии в системах  $Cu - WO_3 - Cu$ . Обнаружено аномальное увеличение стационарного тока при толщине пленок  $WO_3 \approx 35$  нм. Установлено влияние материала подложки (стекло, фторопласт 4) на кинетические закономерности тока релаксации в системах  $Cu - WO_3 - Cu$ . В результате постпроцессов релаксация систем  $Cu - WO_3 - Cu$  на стеклянных носителях завершается через ~48 ч, а на фторопластовых – через ~180 ч.*

Получение перспективных материалов, создание на их основе многослойных гетерогенных систем, выяснение корреляции между составом, структурой и свойствами соединений в зависимости от условий их приготовления, изучение физико-химических свойств, а также природы и закономерностей процессов, протекающих под действием

различных энергетических факторов, представляют значительный интерес как для физики и химии твердого состояния и общей теории гетерогенного катализа, так и в связи с необходимостью разработки реальных систем с управляемым уровнем чувствительности к различным внешним воздействиям. Среди разнообразных неорганических матери-

алов особое место занимает оксид вольфрама (VI). Оксид вольфрама (VI) и системы на его основе привлекают внимание исследователей различного профиля [1–6]. Устройства на основе оксида вольфрама (VI) могут быть рекомендованы к использованию в качестве электро- и фотохромных дисплеев [1–3], электрохромных зеркал или светоперераспределяющих фильтров [4], сенсоров для контроля содержания оксидов азота в атмосфере [5, 6]. Основными регулирующими (регистрирующими) элементами в этих устройствах являются тонкие слои (пленки) оксида вольфрама (VI). Известно также, что оптические и электрофизические свойства тонких пленок различных материалов в значительной степени зависят от их толщины, условий получения, материала подложки [7]. Отмеченные практическая ценность, а также отсутствие к настоящему времени в отечественной и зарубежной литературе информации о систематических исследованиях влияния размерных эффектов на электрофизические свойства пленок оксида вольфрама (VI) ставят правомерной и своевременной задачу комплексного исследования указанных свойств систем на основе оксида вольфрама (VI).

В настоящей работе, которая является продолжением проводимых в нашей лаборатории исследований природы и закономерностей процессов в индивидуальных и гетеросистемах на основе оксида вольфрама (VI) до, в процессе и после индивидуального и комплексного воздействия различных энергетических факторов, представлены результаты систематических исследований кинетических закономерностей протекания тока в системах  $\text{Cu} - \text{WO}_3 - \text{Cu}$  в зависимости от величины (в диапазоне  $\pm 10$  В) и полярности внешнего напряжения, толщины слоев  $\text{WO}_3$  (в интервале 20...100 нм), времени выдержки с момента приготовления образцов до начала измерения (от 2 до 180 ч), материала подложки (фторопласт 4, стекло ГОСТ 9284 – 59).

#### Объекты и методы исследования

Объектами исследования служили пленки оксида вольфрама (VI). В качестве электродов была выбрана медь. Медь относится к группе полублагородных металлов, которые имеют положительное значение свободной энергии при протекании реакции ионизации только в отсутствии кислорода [8], а работа выхода  $\text{Cu}$  [9, 10] меньше работы выхода  $\text{WO}_3$  ( $n$ -типа) [10], что является необходимым условием для создания омического контакта.

Для измерения тока в системе  $\text{Cu} - \text{WO}_3 - \text{Cu}$  на стеклянную (либо фторопластовую) пластины (площадью  $0,013 \times 0,03$  м, которые предварительно обрабатывали концентрированной азотной кислотой, раствором  $\text{K}_2\text{Cr}_2\text{O}_7$  в концентрированной серной кислоте, кипятили в дистиллированной воде, сушили) через маску с зазором 0,2 мм методом термического испарения при давлении  $2 \cdot 10^{-3}$  Па на установке вакуумный универсальный пост «ВУП 5М» наносились медные электроды толщи-

ной ~100 нм. Размер зазора между электродами контролировался при помощи микроскопа. Через маску поверх электродов наносилась пленка  $\text{WO}_3$  толщиной 20...90 нм. На рис. 1 представлена структура систем  $\text{Cu} - \text{WO}_3 - \text{Cu}$ . Исходными материалами служили мелкокристаллический порошок  $\text{WO}_3$  марки «ч» и пластинка  $\text{Cu}$  марки «ч». В качестве материала испарителя использовали молибденовую пластинку толщиной 0,3 мм. Перед испарением лодочку протирали спиртом и подвергали прокаливанию при давлении  $2 \cdot 10^{-3}$  Па. Лодочку-испаритель устанавливали строго горизонтально, закрепляя в зажимах токовыводов. Исходная температура подложек в процессе нанесения пленок составляла 293 К.

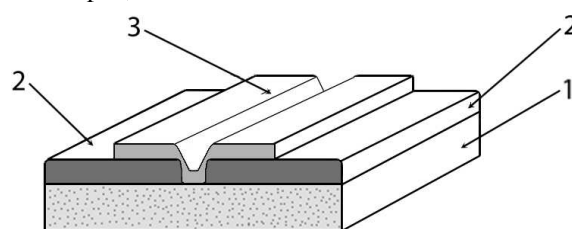


Рис. 1. Структура системы  $\text{Cu} - \text{WO}_3 - \text{Cu}$  на подложке: 1) подложка (стекло, фторопласт); 2) пленочные электроды (медь); 3) пленка  $\text{WO}_3$

Толщину пленок  $\text{WO}_3$  определяли гравиметрическим [8, 11], спектрофотометрическим (используя двухлучевой спектрофотометр «Shimadzu UV-1700») и микроскопическим методами [8]. Взвешивание производили на весах ВЛР-200 с точностью до  $5 \cdot 10^{-5}$  г. Толщину пленок рассчитывали по формуле [11]:

$$d_n = \Delta m / F_n \cdot \rho_n$$

$\Delta m$  — приращение массы подложки после нанесения на нее пленки,  $F_n$  — площадь пленки на подложке,  $\rho_n$  — удельная масса нанесенного вещества.

Измерения тока релаксации оксида вольфрама (VI) проводили в атмосферных условиях на экспериментальном комплексе «Электрофизика» [12]. По функциональному назначению в комплекс входит: вакуумная, оптическая и электроизмерительная системы. Оптическая система обеспечивает необходимый по спектральному составу (200...1300 нм) и мощности световой поток. Электроизмерительная система предназначена для регистрации и записи на ПЭВМ кинетических кривых фото-ЭДС, темнового- и фототока. Основные характеристики электроизмерительной системы: минимально фиксируемый ток —  $10^{-15}$  А, динамический диапазон — 81,5 дБ, квант времени — 55 мс, максимальная величина подаваемого напряжения 600 В, управление и регистрация — программные.

#### Результаты и обсуждение

В результате анализа результатов исследований закономерностей релаксации тока в системах  $\text{Cu} - \text{WO}_3 - \text{Cu}$  было установлено, что независимо от величины и полярности внешнего напряжения, толщины пленок  $\text{WO}_3$ , времени выдержки образцов в

атмосферных условиях с момента их приготовления до момента измерения тока, материала подложки, на кинетических кривых при подаче внешнего напряжения наблюдаются три участка: резкое увеличение тока до определенного значения (начальный максимум), участок уменьшения тока до постоянного значения и стационарный участок. На рис. 2 в качестве примера представлены кинетические кривые релаксации темнового тока системы  $\text{Cu} - \text{WO}_3 - \text{Cu}$ , нанесенной на стеклянную подложку, при включении и выключении внешнего напряжения. Видно, что в результате воздействия внешнего напряжения запасаения энергии электрического поля в образце не наблюдается (после выключения внешнего напряжения ток релаксирует до нулевого значения). Необходимо отметить, что для систем  $\text{Cu} - \text{WO}_3 - \text{Cu}$ , полученных в одних и тех же контролируемых условиях с одинаковыми по толщине пленками  $\text{WO}_3$ , кинетические кривые релаксации тока совпадают.

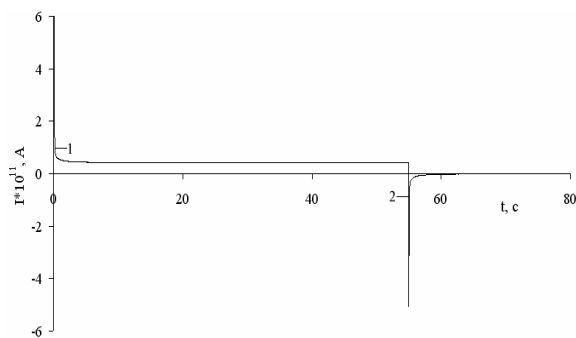


Рис. 2. Кинетические кривые релаксации темнового тока системы  $\text{Cu} - \text{WO}_3 - \text{Cu}$ , нанесенной на стеклянную подложку, при включении (1) и выключении (2) внешнего напряжения ( $U=2 \text{ В}$ ),  $d_{\text{WO}_3}=20 \text{ нм}$

По стационарным значениям тока для каждого из исследованных образцов строились вольтамперные характеристики (ВАХ). Установлено, что ВАХ независимо от толщины пленок  $\text{WO}_3$  и времени хранения их после приготовления систем  $\text{Cu} - \text{WO}_3 - \text{Cu}$  в используемом диапазоне внешних напряжений линейны. На рис. 3 представлены ВАХ систем  $\text{Cu} - \text{WO}_3 - \text{Cu}$  с пленками  $\text{WO}_3$  различной толщины. Видно, что стационарные значения тока в значительной степени зависят от толщины пленок  $\text{WO}_3$ . Причем, при изменении толщины пленок  $\text{WO}_3$  наблюдается как увеличение, так и уменьшение значений стационарного тока.

Ранее [7, 11, 13] было установлено, что тонкие пленки различных материалов в зависимости от их толщины в значительной степени изменяют свои оптические и электрические свойства, а при определении, например, толщины металлических пленок используется зависимость электрического сопротивления металлов от толщины. В настоящей работе были предприняты исследования влияния толщины наноразмерных пленок  $\text{WO}_3$  на кинетические закономерности изменения темнового тока и величину стационарного тока в зависимости от величины и полярности внешнего поля для систем

$\text{Cu} - \text{WO}_3 - \text{Cu}$ , нанесенных на стеклянные подложки в атмосферных условиях при температуре 293 К. Было установлено, что форма кинетических кривых релаксации тока систем  $\text{Cu} - \text{WO}_3 - \text{Cu}$  на стеклянных подложках с изменением толщины пленок  $\text{WO}_3$  практически не меняется, а значения стационарного тока зависят от толщины пленок  $\text{WO}_3$  аномальным образом [13]. На рис. 4 представлены кривые зависимостей стационарного тока систем  $\text{Cu} - \text{WO}_3 - \text{Cu}$  от толщины пленок  $\text{WO}_3$  при разных величинах внешнего напряжения. Видно, что кривые имеют максимум тока при толщине пленок  $\text{WO}_3 \approx 35 \text{ нм}$ , который становится более выраженным с увеличением внешнего напряжения. При этом, значения стационарного тока систем  $\text{Cu} - \text{WO}_3 - \text{Cu}$  с пленками  $\text{WO}_3$  меньшей толщины оказались выше значений стационарного тока систем с более толстыми пленками  $\text{WO}_3$ .

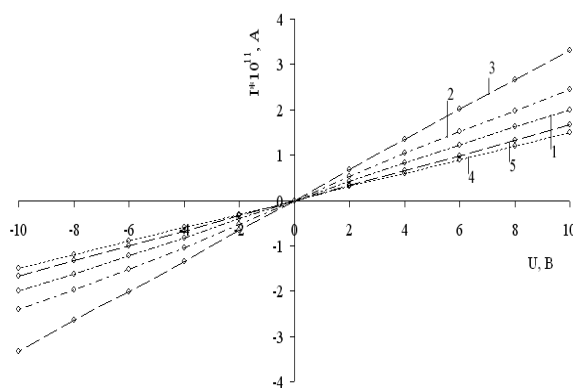


Рис. 3. ВАХ систем  $\text{Cu} - \text{WO}_3 - \text{Cu}$  на стеклянных подложках с разными по толщине пленками  $\text{WO}_3$ : 1) 20; 2) 30; 3) 40; 4) 60; 5) 90 нм (время хранения образцов 2 ч после приготовления)

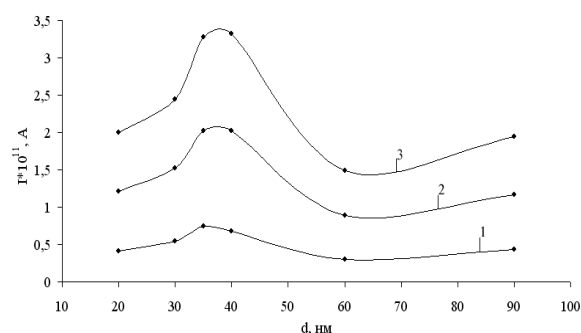


Рис. 4. Зависимость значений стационарного тока для систем  $\text{Cu} - \text{WO}_3 - \text{Cu}$  от толщины пленок  $\text{WO}_3$  при различных внешних напряжениях: 1) 2; 2) 6; 3) 10 В (время хранения систем 2 ч)

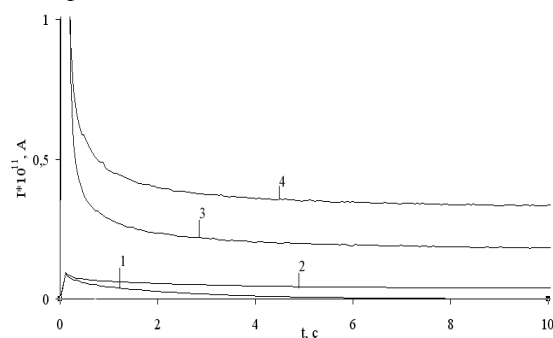
Ранее [3, 14] было установлено, что хранение в атмосферных условиях систем « $\text{Cu} - \text{WO}_3$ » и « $\text{WO}_3 - \text{Cu}$ », приготовленных на стеклянных подложках, приводит к частичному изменению их оптических свойств. В настоящей работе были предприняты исследования влияния времени хранения исследуемых систем на стеклянных подложках с пленками  $\text{WO}_3$  разной толщины в атмосферных условиях при температуре 293 К на закономерности релаксации

тока при различных внешних напряжениях. Было установлено, что независимо от толщины пленок  $\text{WO}_3$  системы на стеклянных подложках релаксируют в течение  $\sim 48$  ч после их приготовления. При этом значения стационарного тока уменьшаются до некоторой постоянной величины и не зависят от времени дальнейшего хранения, а максимум на кривых зависимости «стационарный ток — толщина» (рис. 4) для пленок  $\text{WO}_3$  толщиной 35 нм сохраняется и становится еще более ярко выраженным.

В качестве основных причин, вызывающих наблюдаемые изменения стационарных значений тока в процессе хранения систем  $\text{Cu} - \text{WO}_3 - \text{Cu}$  были выделены следующие [3, 13, 14]:

- стабилизация наноразмерных пленок  $\text{WO}_3$ ;
- взаимодействие наноразмерных пленок  $\text{WO}_3$  с медными электродами;
- взаимодействие поверхности пленок  $\text{WO}_3$  и пленок меди (электродов) с компонентами окружающей среды;
- участие стеклянной подложки в процессе переноса носителей заряда в системах  $\text{Cu} - \text{WO}_3 - \text{Cu}$ .

Для выяснения влияния материала подложки, используемой для приготовления образцов, на закономерности релаксации темнового тока в наноразмерных пленках  $\text{WO}_3$  разной толщины провели параллельные измерения кинетических кривых тока релаксации двух групп систем  $\text{Cu} - \text{WO}_3 - \text{Cu}$  и  $\text{Cu} - \text{стекло} - \text{Cu}$  непосредственно после их приготовления, а также через фиксированные значения времени.



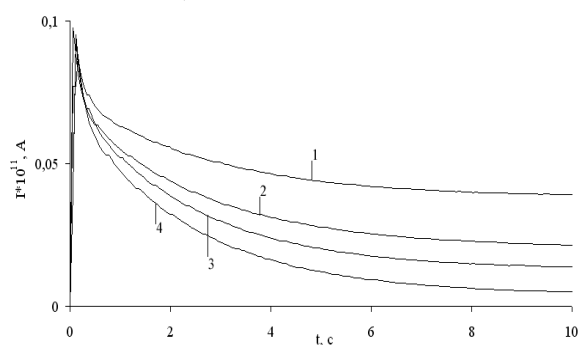
**Рис. 5.** Кинетические кривые релаксации тока систем  $\text{Cu} - \text{фторопласт} - \text{Cu}$  (1),  $\text{Cu} - \text{WO}_3 - \text{Cu}$  на фторопластовой подложке  $d_{\text{WO}_3}=40$  нм (2),  $\text{Cu} - \text{стекло} - \text{Cu}$  (3),  $\text{Cu} - \text{WO}_3 - \text{Cu}$  на стеклянной подложке  $d_{\text{WO}_3}=60$  нм (4). Внешнее напряжение  $U=2$  В. Время хранения систем 2 ч после приготовления

В результате были установлены следующие экспериментальные факты: во-первых, значения стационарного тока для систем  $\text{Cu} - \text{стекло} - \text{Cu}$  с течением времени не меняются (рис. 5, кривая 3); во-вторых, значения тока релаксации и стационарного тока для систем  $\text{Cu} - \text{WO}_3 - \text{Cu}$  выше, чем для систем  $\text{Cu} - \text{стекло} - \text{Cu}$  при времени хранения их до двух часов (рис. 5, кривая 4); в-третьих, значения стационарного тока в процессе хранения систем  $\text{Cu} - \text{WO}_3 - \text{Cu}$  в течение 48 ч уменьшаются до величины, незначительно превышающей значения

тока в системах  $\text{Cu} - \text{стекло} - \text{Cu}$  за исключением аномального максимума тока для систем  $\text{Cu} - \text{WO}_3 - \text{Cu}$  при толщине пленок  $\text{WO}_3 \approx 35$  нм.

Одновременно для сравнения и исключения влияния подложки из стекла были приготовлены системы  $\text{Cu} - \text{фторопласт} - \text{Cu}$  и  $\text{Cu} - \text{WO}_3 - \text{Cu}$  (на подложках из фторопласта 4), а также проведены измерения кинетических кривых релаксации тока непосредственно после их приготовления и через заданные промежутки времени. Было установлено, что релаксация тока до нулевого значения (на пределе чувствительности измерительной системы) в системах  $\text{Cu} - \text{фторопласт} - \text{Cu}$  завершается в течение 10 с (рис. 5, кривая 1).

Для систем  $\text{Cu} - \text{WO}_3 - \text{Cu}$ , нанесенных на фторопластовые подложки и измеренных непосредственно после их приготовления (также как и на стеклянных подложках), на кинетической кривой релаксации тока (рис. 5, кривая 2) наблюдаются три участка. Видно, что для систем  $\text{Cu} - \text{WO}_3 - \text{Cu}$ , нанесенных на фторопластовые подложки, имеет место изменение формы кинетических кривых релаксации тока — начальный максимум значительно меньше, чем для систем  $\text{Cu} - \text{WO}_3 - \text{Cu}$ , нанесенных на стеклянные подложки (рис. 2, кривая 1 и рис. 5, кривая 4).



**Рис. 6.** Зависимость тока релаксации от времени хранения ( $\tau$ ) системы  $\text{Cu} - \text{WO}_3 - \text{Cu}$  на фторопластовой подложке: 1) 2; 2) 24; 3) 48; 4) 144 ч. Внешнее напряжение  $U=2$  В.  $d_{\text{WO}_3}=40$  нм

При хранении систем  $\text{Cu} - \text{WO}_3 - \text{Cu}$ , приготовленных на фторопластовых подложках, значения стационарного тока продолжают уменьшаться и по истечении 48 ч (рис. 6) в отличие от систем  $\text{Cu} - \text{WO}_3 - \text{Cu}$ , нанесенных на стеклянные подложки. Обнаруженные экспериментальные факты свидетельствуют о том, что при хранении в атмосферных условиях в системах  $\text{Cu} - \text{WO}_3 - \text{Cu}$  протекают необратимые постпроцессы, которые наряду с изменением оптических свойств [10, 14] оказывают влияние на кинетические закономерности релаксации тока.

## Выводы

1. Изучены кинетические закономерности релаксации тока в системах  $\text{Cu} - \text{WO}_3 - \text{Cu}$  в зависимости от величины и полярности внешнего напряжения, толщины пленок  $\text{WO}_3$ , времени хра-

- нения с момента приготовления образцов до начала измерения и материала подложки.
- Установлено, что независимо от толщины пленок  $WO_3$  (20...100 нм), времени выдержки образцов в атмосферных условиях (2...180 ч), материала подложки (фторопласт 4, стекло ГОСТ 9284–59) на кинетических кривых тока, измеренных для систем  $Cu - WO_3 - Cu$ , проявляются три участка: резкое возрастание тока (начальный максимум), участок уменьшения тока и стационарный участок.
  - Показано, что в результате воздействия внешнего напряжения в диапазоне  $\pm 10$  В запасаения энергии в системах  $Cu - WO_3 - Cu$  не наблюдается.
  - Установлено, что значения стационарного тока в системах  $Cu - WO_3 - Cu$  зависят от толщины пленки  $WO_3$ . Обнаружено аномальное увеличение стационарного тока при толщине пленок  $WO_3 \approx 35$  нм.
  - Показано, что при хранении системы  $Cu - WO_3 - Cu$  релаксируют. Релаксация систем  $Cu - WO_3 - Cu$  на стеклянных носителях завершается через  $\sim 48$  ч, а на фторопластовых – через  $\sim 180$  ч.
  - Установлено влияние материала подложки на кинетические закономерности тока релаксации в системах  $Cu - WO_3 - Cu$ .
- Работа поддержана грантом Президента РФ для поддержки ведущих научных школ НШ – 20.2003.3.*

#### СПИСОК ЛИТЕРАТУРЫ

- Лусис А.Р. Электрохромный эффект и электрохромные материалы: физика и применение // Оксидные электрохромные материалы. Межвуз. сб. научн. трудов. – Рига: Изд-во ЛГУ им. П. Стучки, 1981. – С. 13–37.
- Гуревич Ю.Я. Твердые электролиты. – М.: Наука, 1986. – 176 с.
- Хамитов М.М., Суровой Э.П., Баранников А.В., Шустов М.А. Направленное регулирование фоточувствительности  $WO_3$  // Бессеребряные и необычные фотопроцессы: Тезисы докл. III Всесоюзн. конф. – Вильнюс, 1980. – С. 199–200.
- Лусис А.Р., Клеперис Я.Я. Электрохромные зеркала – твердотельные ионные устройства // Электрохимия. – 1992. – Т. 28. – № 10. – С. 1450–1455.
- Maosong Tong, Guorui Dai.  $WO_3$  thin film prepared by PECVD technique and its gas sensing properties to  $NO_2$  // Journal of Materials Science. – 2001. – V. 36. – P. 2535–2538.
- Giulio M.D., Manno D. Sputter deposition of tungsten trioxide for gas sensing applications // Journal of Materials Science: Materials in Electronics. – 1998. – V. 9. – P. 317–322.
- Метфессель С. Тонкие пленки, их изготовление и измерение. – М.-Л.: Госэнергоиздат, 1963. – 272 с.
- Томашов Н.Д. Теория коррозии и защиты металлов. – М.: Изд-во АН СССР, 1960. – 592 с.
- Суровой Э.П., Титов И.В., Бугерко Л.Н. Контактная разность потенциалов для азидов свинца, серебра и таллия // Известия Томского политехнического университета. – 2005. – Т. 308. – № 2. – С. 79–83.
- Фоменко В.С. Эмиссионные свойства материалов. – Киев: Наукова думка, 1981. – 340 с.
- Минайчев В.Е. Нанесение пленок в вакууме // Технология полупроводниковых приборов и изделий микроэлектроники. – М.: Высшая школа, 1989. – 110 с.
- Бин С.В., Борисова И.В., Титов И.В. Измерение электропроводности пленок  $WO_3$  в зависимости от их толщины // Химия – XXI век: новые технологии, новые продукты: Труды VIII Междунар. научно-практ. конф. – Кемерово, 2005. – С. 421–424.
- Борисова Н.В., Титов И.В., Суровой Э.П. Влияние светового излучения на системы « $WO_3 - Cu$ » // Химия – XXI век: новые технологии, новые продукты: Труды VIII Междунар. научно-практ. конф. – Кемерово, 2005. – С. 179–181.
- Борисова Н.В., Суровой Э.П., Титов И.В. Закономерности изменения свойств пленок меди в процессе термообработки // Известия Томского политехнического университета. – 2006. – Т. 309. – № 1. – С. 86–90.